

<b>Zeitschrift:</b>	Schweizerische Bauzeitung
<b>Herausgeber:</b>	Verlags-AG der akademischen technischen Vereine
<b>Band:</b>	88 (1970)
<b>Heft:</b>	8
<b>Artikel:</b>	Beeinflussung der Momentenverteilung durch Aussparungen in einer Flachdecke
<b>Autor:</b>	Szerdahelyi, Dénes
<b>DOI:</b>	<a href="https://doi.org/10.5169/seals-84427">https://doi.org/10.5169/seals-84427</a>

### Nutzungsbedingungen

Die ETH-Bibliothek ist die Anbieterin der digitalisierten Zeitschriften auf E-Periodica. Sie besitzt keine Urheberrechte an den Zeitschriften und ist nicht verantwortlich für deren Inhalte. Die Rechte liegen in der Regel bei den Herausgebern beziehungsweise den externen Rechteinhabern. Das Veröffentlichen von Bildern in Print- und Online-Publikationen sowie auf Social Media-Kanälen oder Webseiten ist nur mit vorheriger Genehmigung der Rechteinhaber erlaubt. [Mehr erfahren](#)

### Conditions d'utilisation

L'ETH Library est le fournisseur des revues numérisées. Elle ne détient aucun droit d'auteur sur les revues et n'est pas responsable de leur contenu. En règle générale, les droits sont détenus par les éditeurs ou les détenteurs de droits externes. La reproduction d'images dans des publications imprimées ou en ligne ainsi que sur des canaux de médias sociaux ou des sites web n'est autorisée qu'avec l'accord préalable des détenteurs des droits. [En savoir plus](#)

### Terms of use

The ETH Library is the provider of the digitised journals. It does not own any copyrights to the journals and is not responsible for their content. The rights usually lie with the publishers or the external rights holders. Publishing images in print and online publications, as well as on social media channels or websites, is only permitted with the prior consent of the rights holders. [Find out more](#)

**Download PDF:** 21.02.2026

**ETH-Bibliothek Zürich, E-Periodica, <https://www.e-periodica.ch>**

## Beeinflussung der Momentenverteilung durch Aussparungen in einer Flachdecke

DK 624.073

Von D. Szerdahelyi, dipl. Bauing. ETH, im Ingenieurbüro Emch &amp; Berger, Bern

### 1. Einleitung

Die Bemessung von Flachdecken (unterzugslosen Decken) auf rechteckigen Stützenrastern unter verteilter Last bietet keine Schwierigkeiten: dem Ingenieur stehen leistungsfähige Berechnungsverfahren zur Verfügung [1], [2].

Bei anderen Lagerungsarten, Lastfällen, oder im Falle von Deckendurchbrüchen ist dies nicht mehr der Fall. Man behilft sich oft mit Schätzung von Näherungswerten, oder es werden von Fall zu Fall Modellmessungen ausgeführt. Eine wertvolle Hilfe kann die elektronische Berechnung leisten. Die Ergebnisse von Modellmessungen oder von elektronischen Berechnungen geben jedoch in der Regel lediglich über Einzelfälle Auskunft. Die Entwicklungsabteilung des Ingenieurbüros Emch & Berger hat sich die Aufgabe gestellt, systematische Untersuchungen über für die Bemessungspraxis wichtige Sonderfälle von Flachdecken vorzunehmen. Die vorliegende Arbeit bildet das erste Ergebnis dieser Untersuchungen.

### 2. Problemstellung

Stützenbereiche von Flachdecken weisen bekanntlich starke Spannungskonzentrationen auf. Gerade an diesen Stellen aber werden in der Praxis häufig Aussparungen (Leitungs-

durchbrüche usw.) angeordnet. In der Bemessungspraxis wird oft angenommen, dass das statische Verhalten des gesamten Deckenfeldes durch diese Durchbrüche nicht berührt wird, das heißt die Momentensumme über dem Gurt- bzw. Feldstreifen unverändert bleibt. Praktisch geht man dann so vor, dass die auf die Breite der Aussparung entfallende Armierung beidseitig verteilt wird. Die primäre Zielsetzung der vorliegenden Untersuchung war es, abzuklären, ob diese Annahmen richtig seien. Als Untersuchungsmethode wurde die Spannungsmessung am Plexiglasmodell bei allmählicher Vergrößerung der Aussparungen im Stützenbereich gewählt. In einer zweiten Phase wurde der Einfluss von Aussparungen in Gurtstreifenmitte untersucht, Bild 1a.

Bild 1b. Ansicht der Versuchseinrichtung

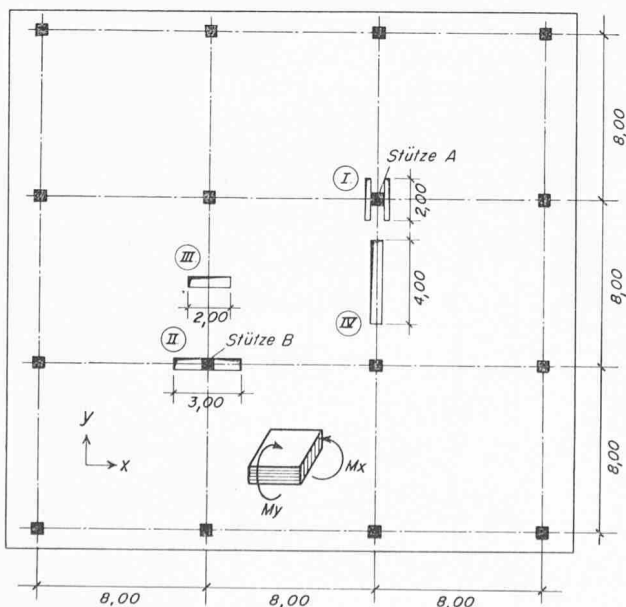
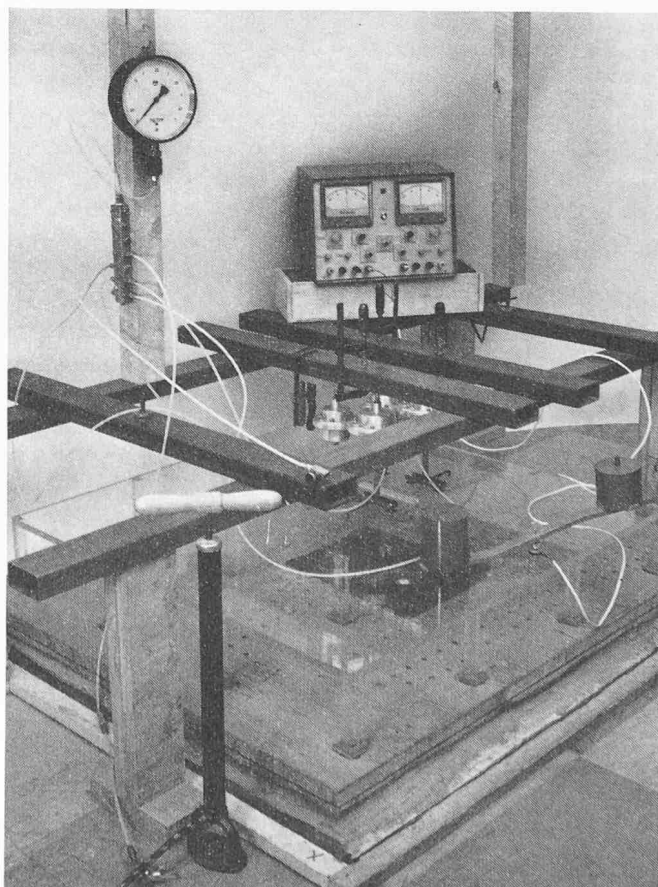


Bild 1a. Übersicht der Untersuchungen: Anordnung der Aussparungen beim grössten Ausschnitt

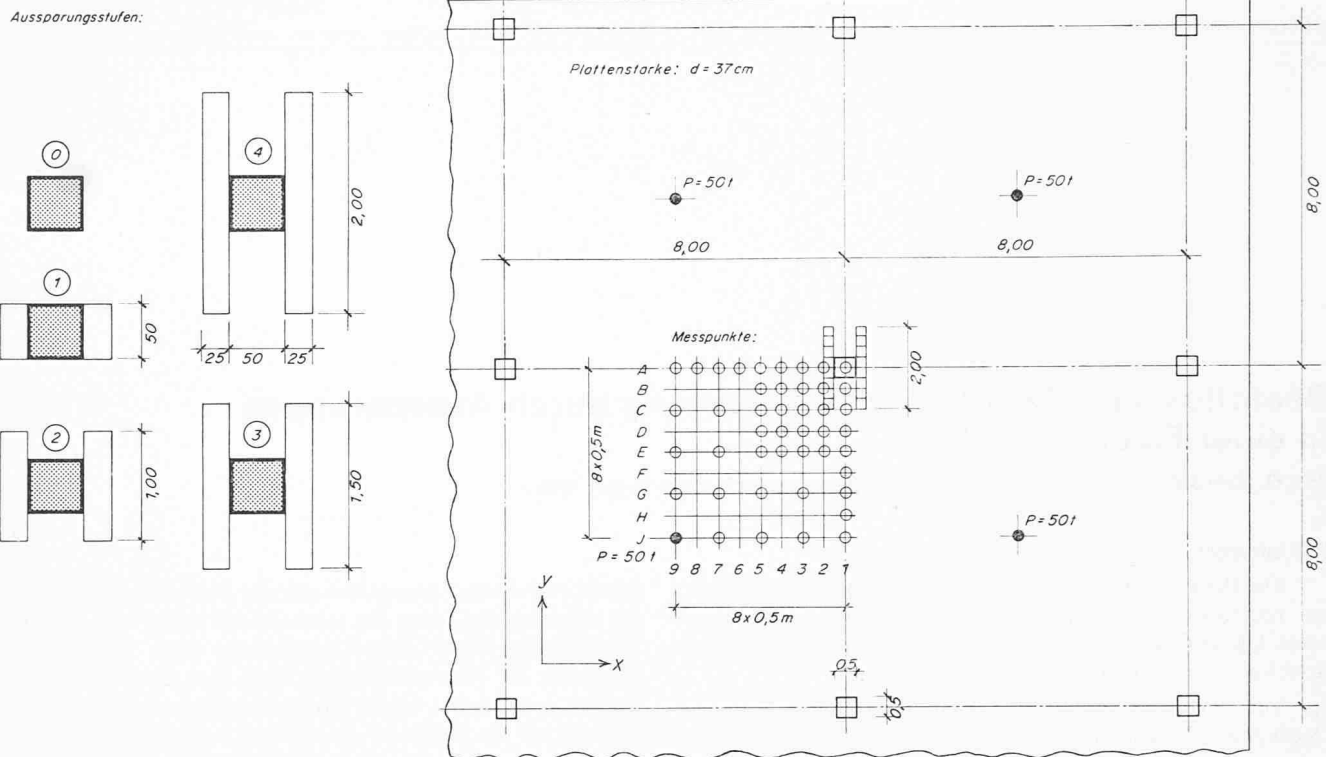


Bild 2. Abmessungen, Belastungsbild, Anordnung der Messpunkte und Aussparungsstufen bei Versuchsserie I. Belastungsmassstab 1 t = 1 kg

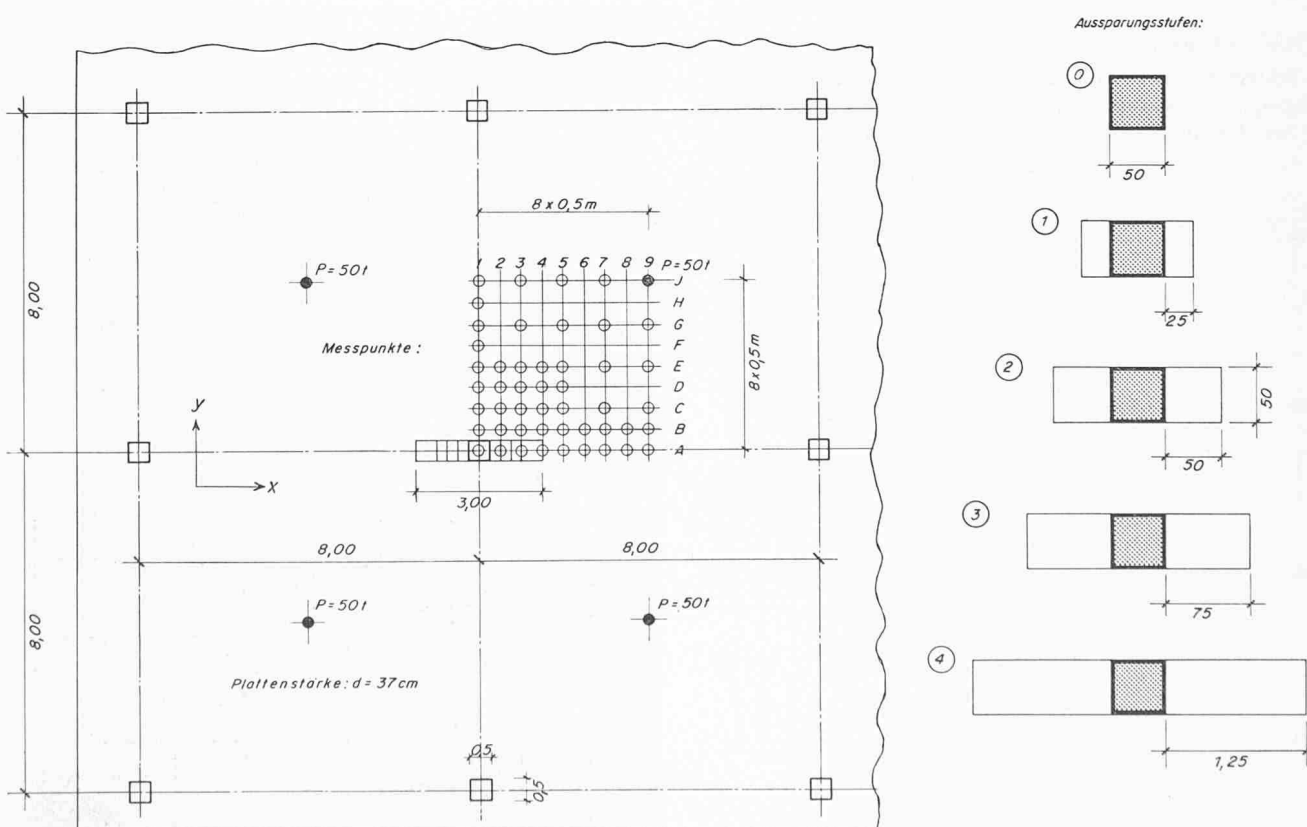


Bild 3. Abmessungen, Belastungsbild, Anordnung der Messpunkte und Aussparungsstufen bei Versuchsserie II. Belastungsmassstab 1 t = 1 kg

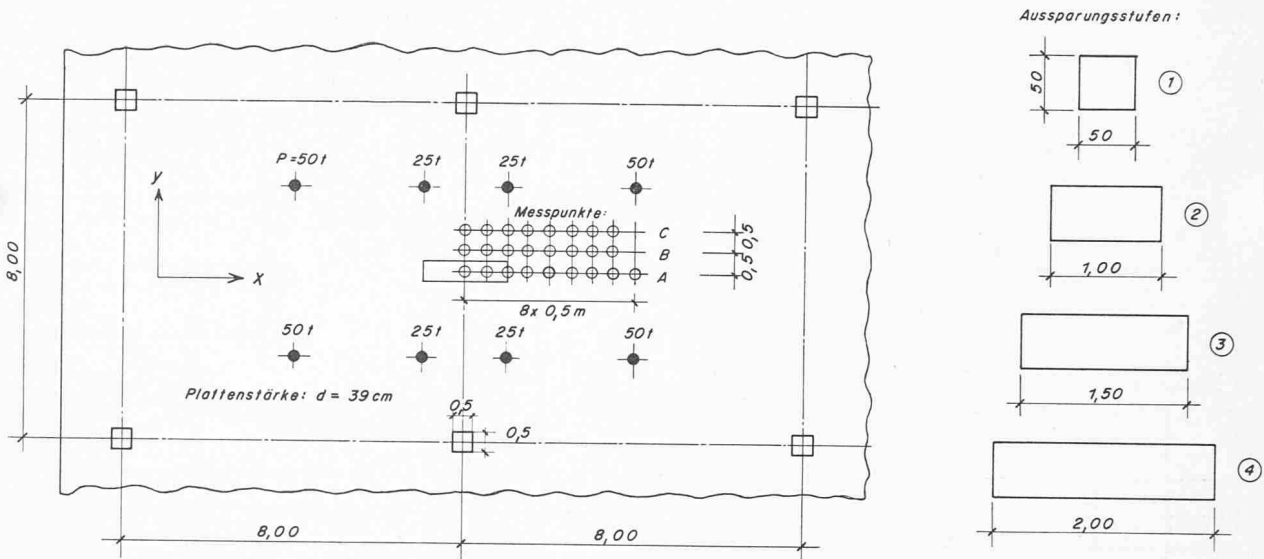


Bild 4. Abmessungen, Belastungsbild, Anordnung der Messpunkte und Aussparungsstufen bei Versuchsserie III  
Belastungsmassstab 1 t = 1 kg

### 3. Versuchsprogramm

Die Versuche wurden im Baustatischen Institut Bern unter der Leitung von Prof. Dr. Hans von Gunten, unter Mitarbeit von Ing.-Tech. HTL Heinz Studer, ausgeführt.

Es wurden zwei 9-Feld-Platten als Plexiglasmodelle im Massstab 1:23,6 bzw. 1:24,4 hergestellt. Die Modelle wurden auf einer 5 cm dicken Holzplatte befestigt und das ganze in ein Mörtelbett versetzt, Bild 1b. Als Messgerät diente eine von Ing. A. Moser, Zumikon, entwickelte Doppelmessbrücke, mit welcher ein Spannungszustand unter Berücksichtigung der Querdehnung abgelesen werden kann (Querdehnungszahl des Modellmaterials:  $\nu = 0,37$ ). Ein Umrechnungsfaktor, wie er früher bei einfachen Messbrücken benötigt wurde, fällt bei dieser Messmethode weg. Man schnitt aus der gleichen Platte, aus der das Modell hergestellt wurde, einen Prüfstab aus, welcher als Kragarm belastet wurde. Durch Vergleich des berechneten mit dem gemessenen Moment konnte das Messgerät direkt in Momentendimension geeicht werden. Die einzelnen Messpunkte wurden durch eine Strain-gage-Rosette abgetastet, welche durch eine entsprechende Einrichtung nach und nach auf die Messpunkte gepresst wurde.

Die Belastungen wurden durch pneumatische Pressen mit Teflonkolbenstangenlager erzeugt. Diese zeichnen sich durch

große Reibungsfreiheit aus. Statt mit einer schwierig zu verwirklichenden, gleichmäig verteilten Belastung wurden die Platten durch Einzellasten belastet. Die Anordnung der Lasten wurde so gewählt, dass diese einen möglichst rotationssymmetrischen Spannungszustand im kritischen Bereich erzeugen (Bilder 2, 3, 4 und 5).

Es sind 4 Versuchsserien ausgeführt worden:

Serie I: Aussparungen im Stützenbereich. Allmähliche Vergrößerung der Aussparungen in der  $y$ -Richtung (Stütze A), Bild 2

Serie II: Aussparungen im Stützenbereich. Sukzessive Vergrößerung der Aussparungen in der  $x$ -Richtung (Stütze B), Bild 3

Serie III: Aussparung in Gurtstreifenmitte. Sukzessive Vergrößerung der Aussparung quer zum Gurtstreifen ( $x$ -Richtung), Bild 4

Serie IV: Aussparung in Gurtstreifenmitte. Sukzessive Vergrößerung der Aussparung parallel zum Gurtstreifen ( $y$ -Richtung), Bild 5

Die Aussparungen wurden in 4 Stufen vergrößert. Die 0-Stufe stellt die volle, aussparungsfreie Decke dar. Die vierte Stufe wurde so gewählt, dass die gesamte Länge der Aussparung bei den Serien I und III  $\frac{1}{4}$  der Spannweite (halbe Gurt-

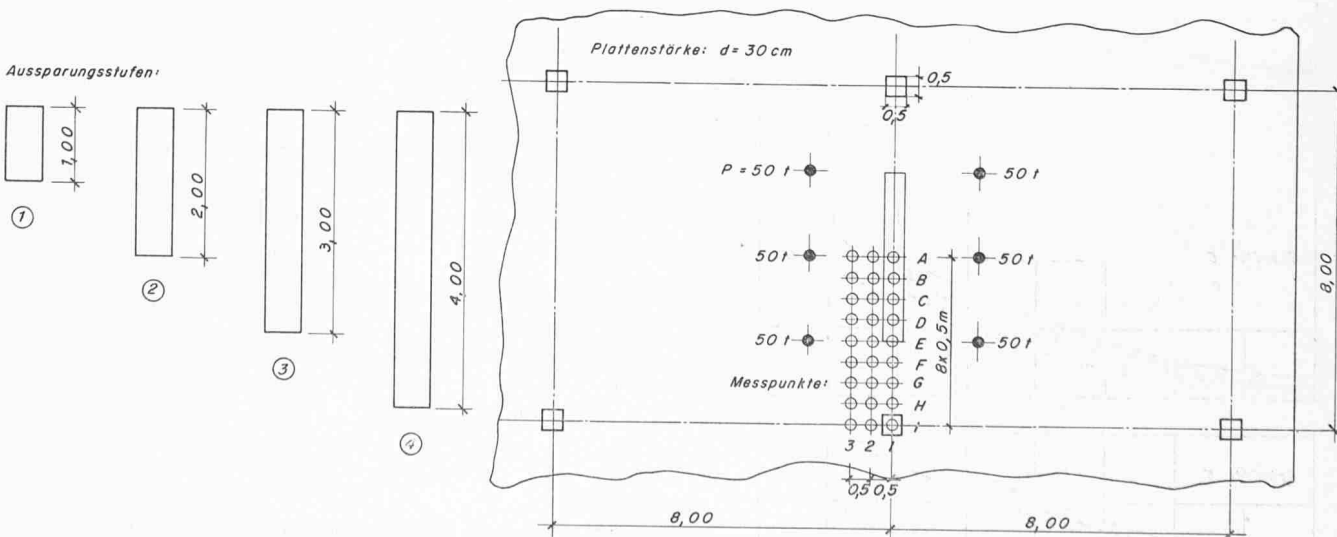


Bild 5. Abmessungen, Belastungsbild, Anordnung der Messpunkte und Aussparungsstufen bei Versuchsserie IV. Belastungsmassstab 1 t = 1 kg

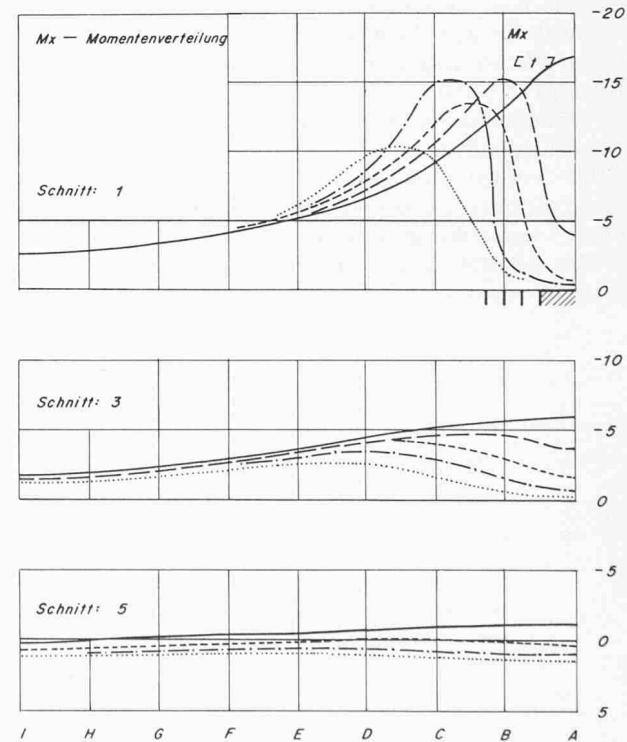
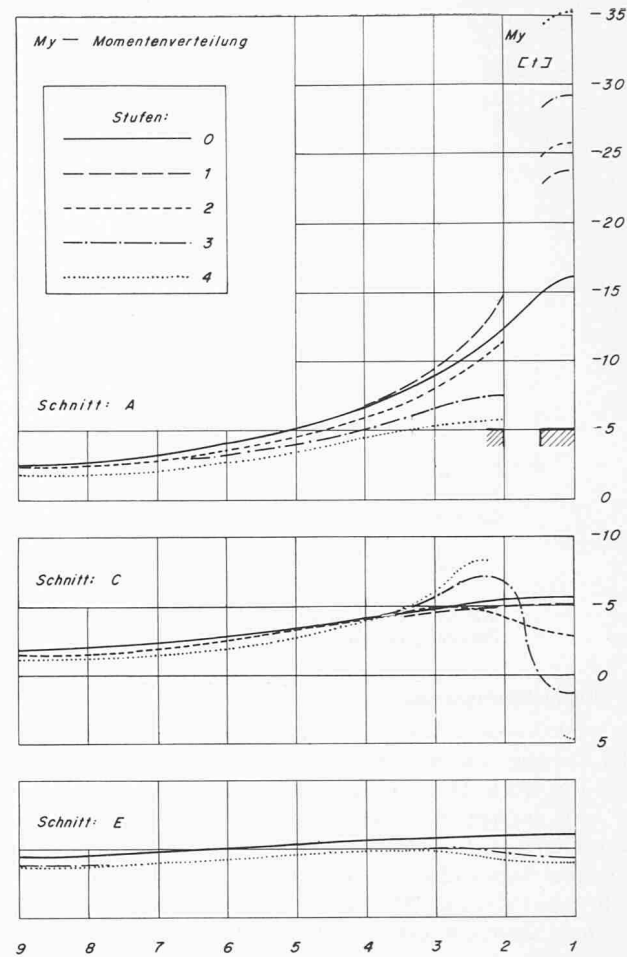
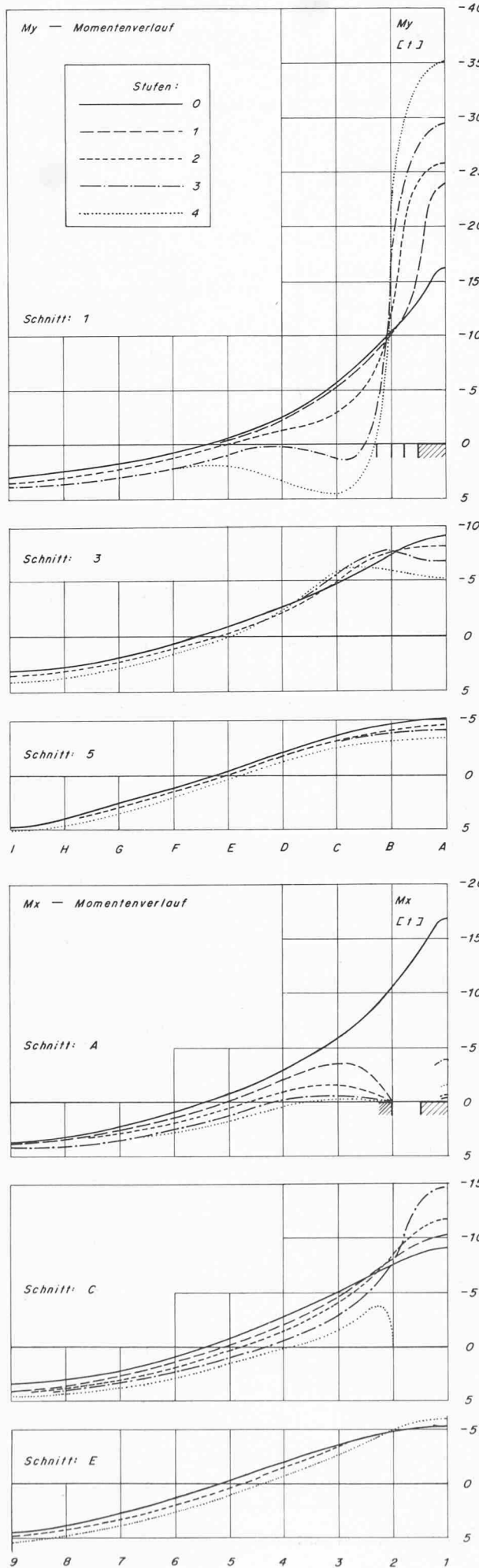


Bild 6. Gemessene Biegemomente [mt/m] der Versuchsserie I (Ausparungen im Stützenbereich)

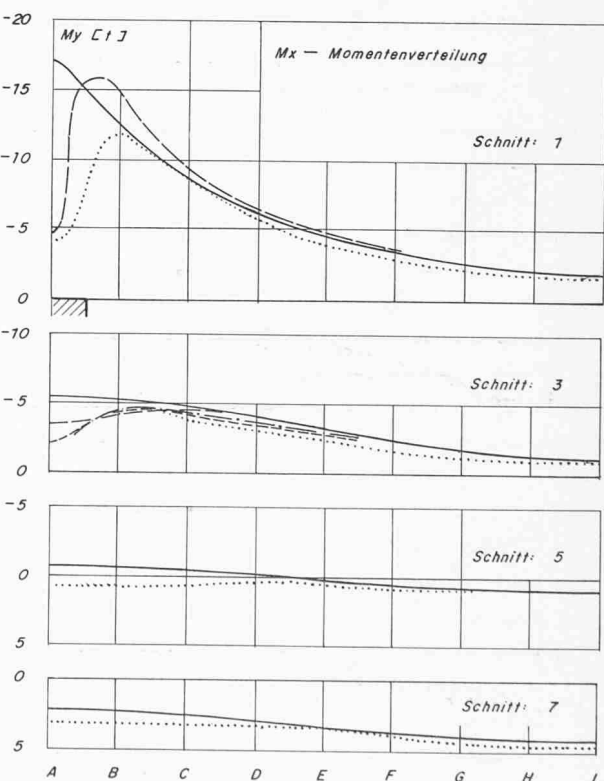
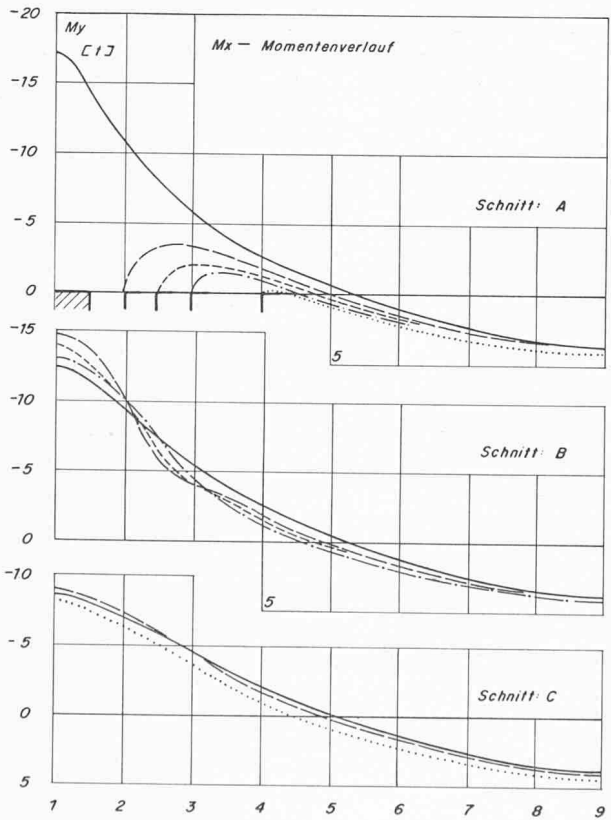
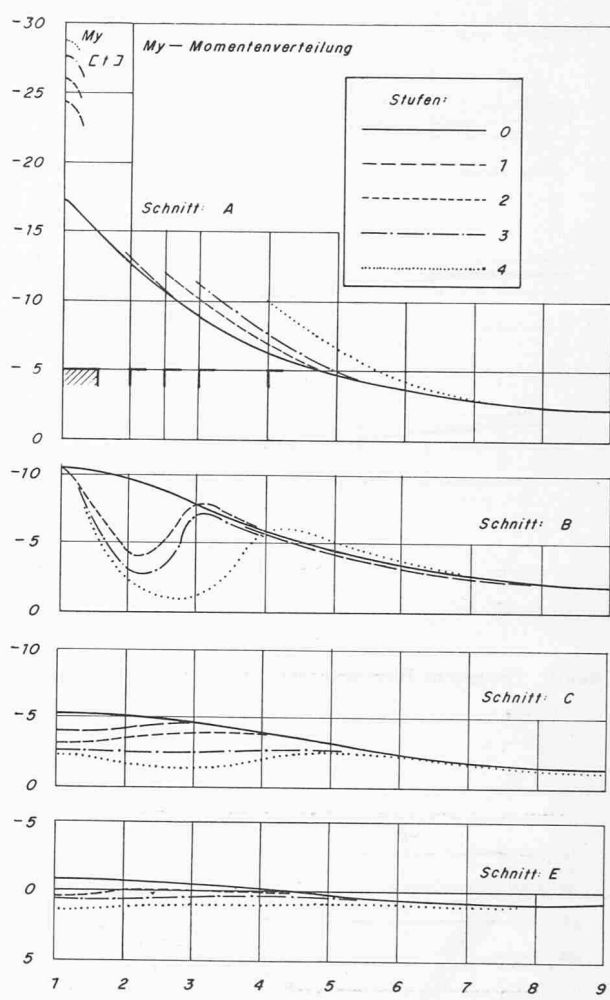
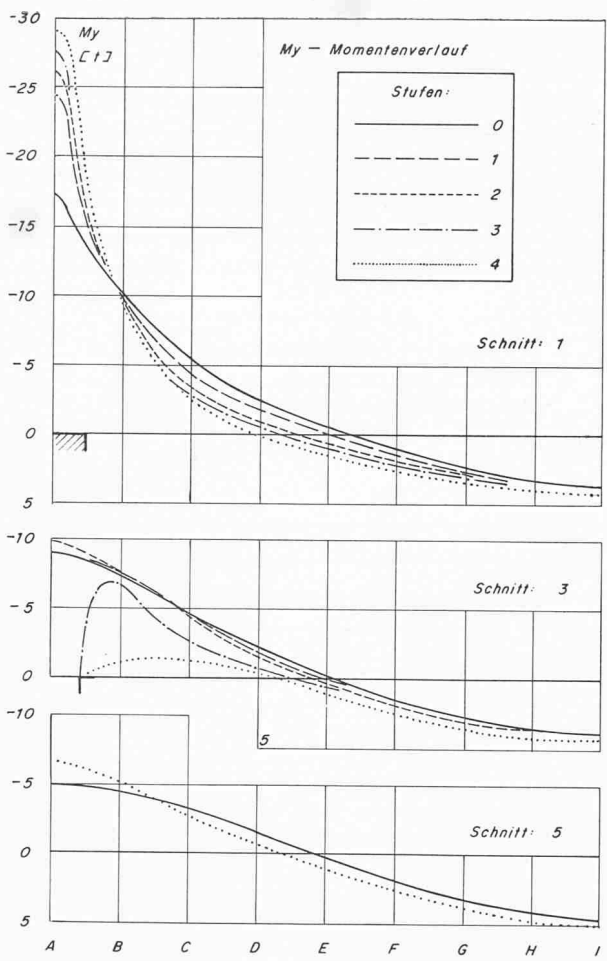


Bild 7. Gemessene Biegemomente [mt/m] der Versuchsserie II (Aussparungen im Stützbereich)

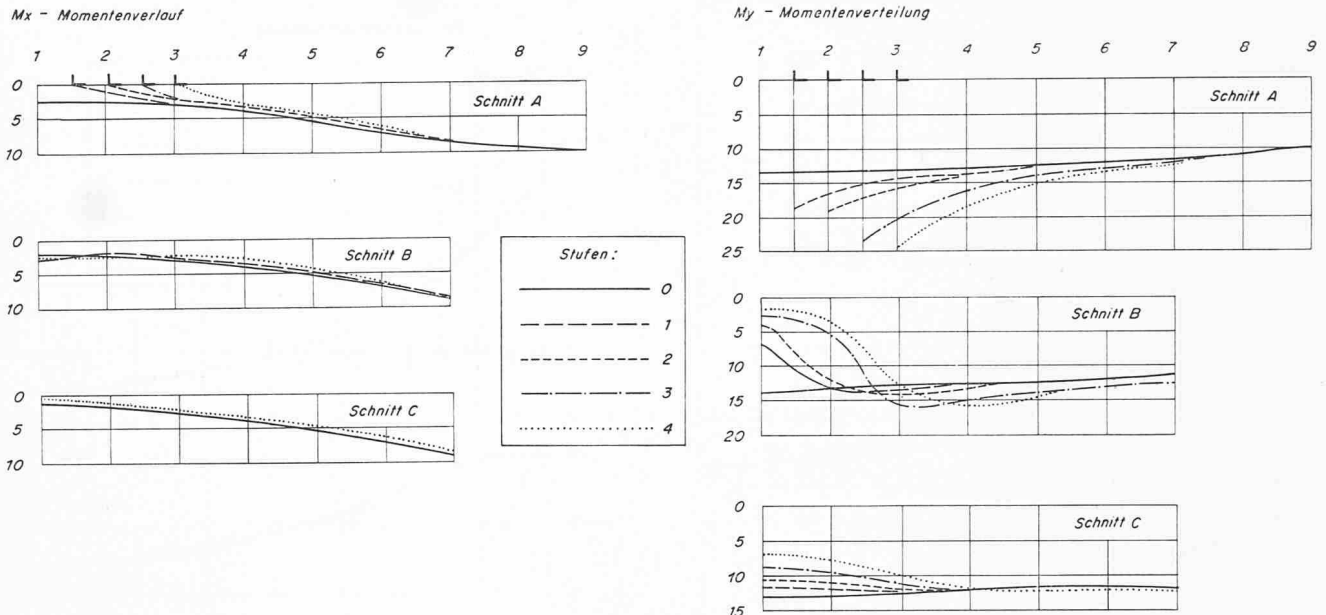


Bild 8. Gemessene Biegemomente [mt/m] der Versuchsserie III (Aussparung in Gurtstreifenmitte, «quer»)

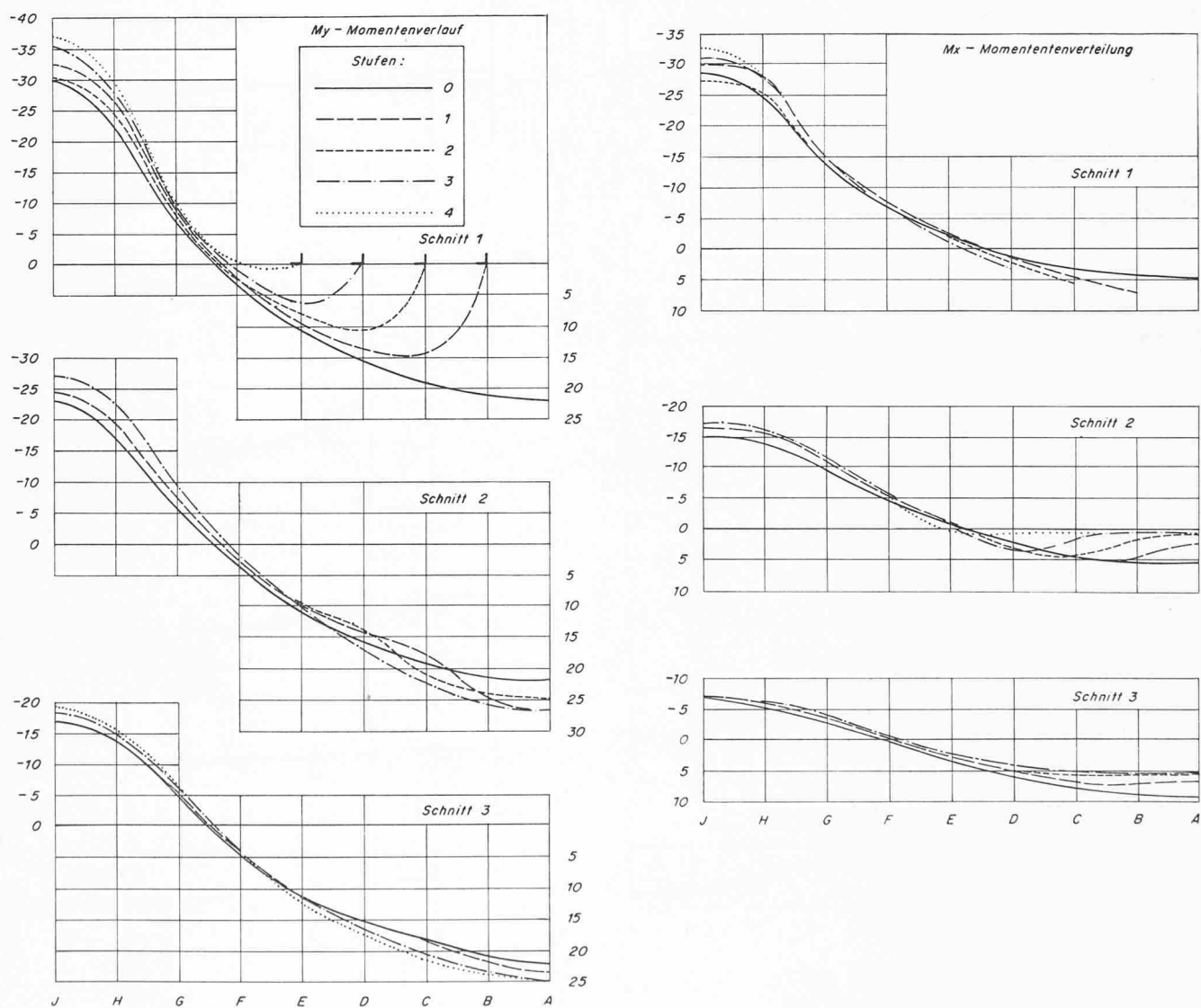


Bild 9. Gemessene Biegemomente der Versuchsserie IV (Aussparung in Gurtstreifenmitte, «längs»)

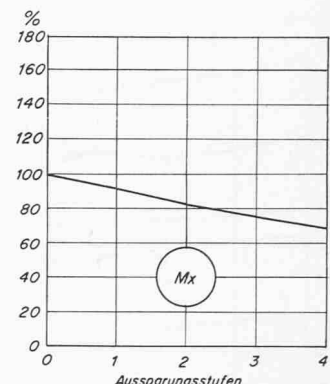
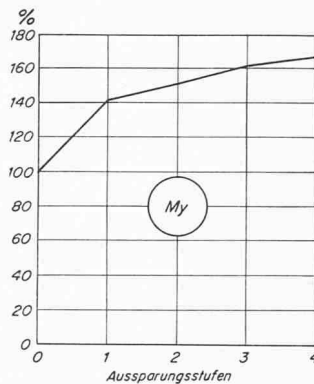
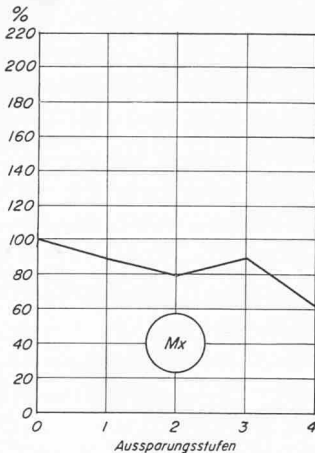
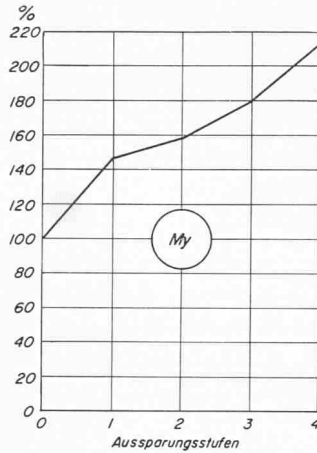


Bild 10. Auswertung der Versuchsserie I: Prozentuale Veränderung der Momentenspitzenwerte bei sukzessiver Vergrösserung der Aussparung

streifenbreite), bei der Serie IV  $\frac{1}{2}$  der Spannweite (Feldstreifenbreite) entspricht. Bei der Serie II wird die halbe Gurtstreifenbreite in der Stufe 3 erreicht.

#### 4. Auswertung der Messergebnisse

Die an der Doppelmessbrücke direkt abgelesenen  $M_x$ - und  $M_y$ -Werte wurden in den Bildern 6, 7, 8 und 9 für jeden Schnitt in der  $x$ - und  $y$ -Richtung aufgetragen. (Dadurch ist für jeden Schnitt eine Momentenverteilung sowie ein Momentenverlauf ablesbar.) Die durchgehend ausgezogenen Linien beziehen sich jeweils auf die Messung der Stufe 0 (ohne Deckendurchbruch). Aus Platzgründen werden hier lediglich die Messungen in den wichtigsten Schnitten wiedergegeben.

Im weiteren ist für jede Serie in den Bildern 10, 11, 12 und 13 die prozentuale Veränderung der Momenten-Spitzenwerte  $M_x$  und  $M_y$  dargestellt. In einer dritten Auswertung ermittelte man durch Flächenintegration die Momenten-Integralwerte in jedem Schnitt (Bilder 14, 15, 16 und 17).

#### 5. Kommentare zu den Ergebnissen

##### 5.1. Serie I: Aussparungen bei Stütze A, in der $y$ -Richtung vergrössert

Eine starke Zunahme der negativen Momente ist lediglich im Schnitt 1 (Streifen zwischen den Aussparungen) festzustellen. Während der Spitzenwert für  $M_y$  über der Stütze bereits bei kleiner Aussparung stark ansteigt, erreichen die Spitzenwerte für  $M_x$  nicht denjenigen der 0-Stufe. Bei gleichzeitiger Verlagerung der Spitzenwerte nehmen diese bei Vergrösserung der Aussparung ab.

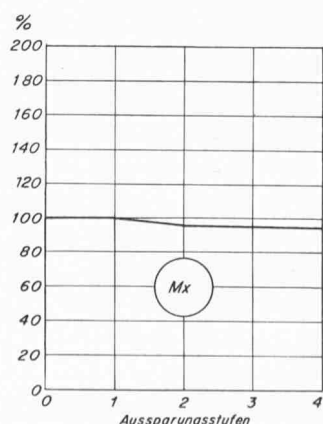
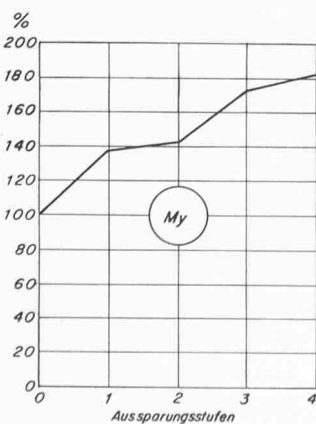


Bild 11. Auswertung der Versuchsserie II: Prozentuale Veränderung der Momentenspitzenwerte bei sukzessiver Vergrösserung der Aussparung

Bild 12. Auswertung der Versuchsserie III: Prozentuale Veränderung der Momentenspitzenwerte bei sukzessiver Vergrösserung der Aussparung

In den übrigen Schnitten ist eine Verlagerung der Momente in der positiven Richtung zu verzeichnen.

Die Auswertung der Momenten-Integrale zeigt ebenfalls eine bemerkenswert gleichmässige, allgemeine Verlagerung der Werte in der positiven Richtung.

##### 5.2. Serie II: Aussparungen bei Stütze B, in der $x$ -Richtung vergrössert

Die Ergebnisse weisen mit denjenigen der Serie I grosse Ähnlichkeit auf. Der Anstieg der Momenten-Spitzenwerte im Schnitt 1 ist hier jedoch (nach einem identischen Momentensprung in der Stufe 1) weniger stark als im Schnitt 1 der Serie I.

##### 5.3. Serie III: Aussparung quer zum Gurtstreifen

Bei Vergrösserung der Aussparung nehmen die  $M_y$ -Spitzenwerte deutlich zu, während die  $M_y$ -Integralwerte abnehmen.

Die  $M_x$ -Werte werden ebenfalls kleiner. Es ist anzunehmen, dass dabei die Stützenmomente etwas ansteigen (siehe Serie IV).

##### 5.4. Serie IV: Aussparung parallel zum Gurtstreifen

Aus dieser Serie erhält man hauptsächlich zwei Ergebnisse:

- Eindeutige Momentenverlagerung in die negative Richtung.
- Keine deutlichen Momentenspitzen in der  $x$ -Richtung.

##### 5.5. Allgemein

Bemerkenswert ist die Erkenntnis, dass bei den Aussparungen im Stützbereich die Momente über der Stütze bereits bei relativ kleinen Durchbrüchen (Stufe 1) stark ansteigen.

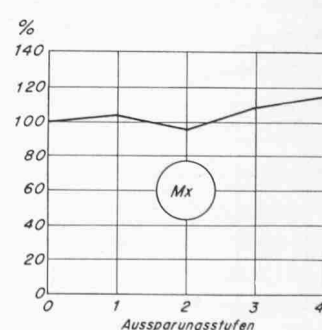
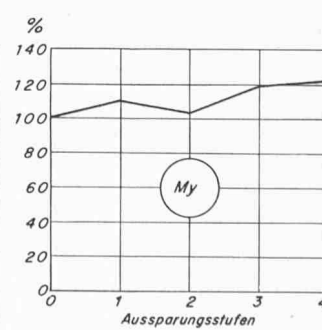


Bild 13. Auswertung der Versuchsserie IV: Prozentuale Veränderung der Momenten-Spitzenwerte bei sukzessiver Vergrösserung der Aussparung

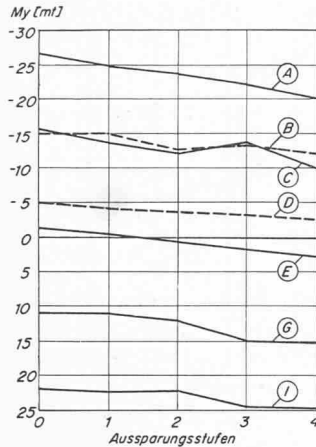


Bild 14. Auswertung der Versuchsserie I: Veränderung der Momenten-Integralwerte bei sukzessiver Vergrößerung der Aussparung

Gleichzeitig wird an dieser Stelle die gesamte Auflagerkraft in die Stütze eingeleitet: der Bemessung und konstruktiven Ausbildung dieser Einzelheit muss deshalb besondere Aufmerksamkeit geschenkt werden. Durch die Verteilung und Verstärkung der Armierung neben den Aussparungen wird das Problem keineswegs gelöst.

Aus dem Vergleich der Ergebnisse der Serien III und IV erkennt man die Bedeutung der Lage von Aussparungen in Gurtstreifenmitte: während zum Gurtstreifen querstehende Durchbrüche deutliche Momentenspitzen in der Nähe derselben verursachen, sind bei den zum Gurtstreifen parallelstehenden Aussparungen keine solche feststellbar. Andererseits ist die Momentenverlagerung in die negative Richtung (Anstieg der Stützenmomente) zu berücksichtigen.

Weiter ist festzustellen, dass

- Aussparungen quer zum Gurtstreifen allgemein grössere Momentenspitzen als parallel angeordnete verursachen
- Aussparungen eine allgemeine Momentenverlagerung des ganzen benachbarten Deckenfeldes bewirken: Momentenverlagerung in die positive Richtung bei Stützenaussparungen, Verlagerung in die negative Richtung bei Aussparungen in Gurtstreifenmitte.

## 6. Schlussfolgerungen

Die vorliegenden Ergebnisse zeigen, dass Aussparungen in Flachdecken das statische Verhalten gesamter Deckenfelder beeinflussen. Tatsächlich ist eine Abnahme der Momenten-

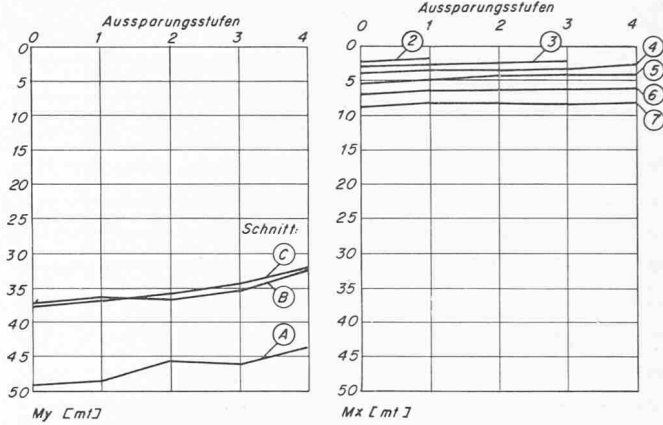


Bild 16. Auswertung der Versuchsserie III: Veränderung der Momenten-Integralwerte bei sukzessiver Vergrößerung der Aussparung

Integrale im Bereiche der Aussparungen bei sämtlichen Versuchen festzustellen. Dieser Abnahme entspricht eine Vergrösserung der vorzeichenmässig entgegengesetzten Momente in den gleichen Feldern.

Die Momentenspitzen infolge «Kräfteumleitung» treten nicht immer dort und in dem Ausmaße auf, wie man es «gefühlmässig» erwarten würde. Dem allgemein verbreiteten Prinzip der «Kräfteumleitung» entsprechen noch am ehesten die Ergebnisse der Serie III (Aussparung quer zum Gurtstreifen).

Aus den Versuchsergebnissen können kaum zahlenmässige «Bemessungsrezepte» abgeleitet werden. Dies war auch nicht das gesetzte Ziel. Doch glauben wir, dass die vorliegende Untersuchung etwas zum besseren Verständnis des Verhaltens von Flachdecken mit Durchbrüchen beizutragen vermag.

## Literaturverzeichnis

- [1] Dr. H. Dusdeck, F. Berger und Dr. H. v. Gunten: Praktische Berechnung der Pilzdecke ohne Stützenkopfverstärkung (Flachdecke). «Beton- und Stahlbetonbau», 58 (1963), H. 3, S. 56–63.
- [2] D. Pfaffinger und Prof. Dr. B. Thürliemann: Tabellen für unterzugslose Decken. Zürich 1967. Verlags-AG der akademischen technischen Vereine.
- [3] Dr. sc. techn. H. von Gunten: Modelle als Hilfsmittel für die Bemessung von Bauwerken. «Schweiz. Bauzeitung», 79 (1961), H. 20, S. 329–335.

Adresse des Verfassers: Dénes Szerdahelyi, dipl. Ing., Brunnenhofstrasse 47, 3063 Ittigen BE.

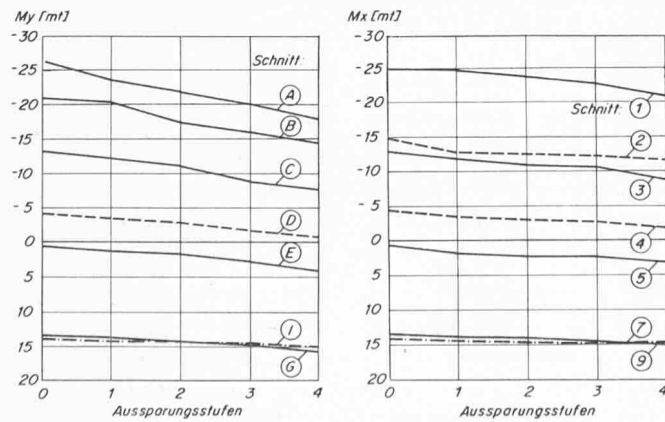


Bild 15. Auswertung der Versuchsserie II: Veränderung der Momenten-Integralwerte bei sukzessiver Vergrößerung der Aussparung

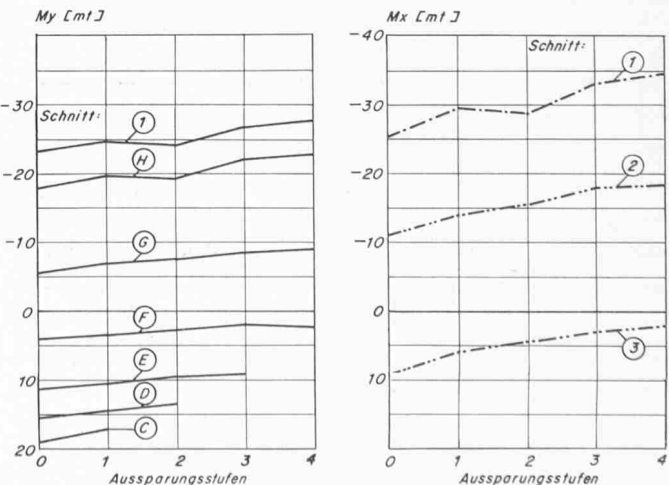


Bild 17. Auswertung der Versuchsserie IV: Veränderung der Momenten-Integralwerte bei sukzessiver Vergrößerung der Aussparung